

# مطالعه‌ی تجربی فرکانس حباب‌های تیلور در جریان دوفازی گاز - مایع در داخل یک زانویی بزرگ

محمد رضا انصاری\* (دانشیار)

بابک حبیب‌پور (دانشجوی کارشناسی ارشد)

ابراهیم سلیمی (دانشجوی کارشناسی ارشد)

دانشکده‌ی مهندسی مکانیک، دانشگاه تربیت مدرس

؛ یووان ادبی (استادیار)

دانشکده‌ی فنی و مهندسی، گروه مکانیک، دانشگاه هرمه‌گان

مهمنگی مکانیک شرف، (پیز ۱۴۹۴) دری ۳ - ۱، شماره ۲، ص. ۸۷-۹۸

در تحقیق حاضر، الگوی جریان حباب‌های تیلور و فرکانس تشکیل آن‌ها در یک زانویی بزرگ مشتمل از سه شیب متواالی بررسی شده است. بدین‌منظور ابتدا نمودارهای جریان برای مقاطع مختلف مسیر ترسیم، و ضمن آن روند تشکیل حباب‌ها، تأثیر دبی جریان فازها بر فرکانس آن‌ها مطالعه شده است. نتایج حاصله نشان می‌دهد که با توجه به عدم وجود پدیده‌ی ادغام حباب‌ها، تغییرات شیب کanal در امتداد زانویی، تأثیری بر فرکانس حباب‌ها ندارد. در جریان‌هایی با  $Re_{sl} < 22000$  مقدار فرکانس حباب‌ها در طول زانویی و فرکانس اسلامک در بالادست زانویی نزدیک بوده و افزایش دبی جریان مایع سبب کاهش فرکانس حباب‌ها می‌شود. این در حالی است که در جریان‌هایی با  $Re_{sl} > 22000$  عکس این موارد خیلی دهد. همچنین با توجه به نتایج، در هر دو ناحیه‌ی مذکور افزایش دبی جریان گاز سبب کاهش فرکانس حباب‌ها می‌شود. در انتها نیز روابطی برای تعیین فرکانس حباب‌ها براساس اعداد رینولدز ظاهری فازها پیشنهاد شده است.

mra\_1330@modares.ac.ir  
babak.habibpour@modares.ac.ir  
ebrahim.salimi@modares.ac.ir  
adibi@hormozgan.ac.ir

وازگان کلیدی: جریان دوفازی، فرکانس حباب، رژیم پلاگ، حباب‌های تیلور، کanal شیب‌دار.

## ۱. مقدمه

پروفیل فشار داخل کanal ایجاد کرده<sup>[۱]</sup> و سبب تشدید فرایندهای خوردگی و خستگی می‌شوند. همچنین چون این حباب‌ها مقدار قابل توجهی از سطح مقطع کanal را اشغال می‌کنند، پمپاز و انتقال جریان حباب‌های تیلور همواره با مشکلاتی روبرو است. لذا با توجه به اهمیت موضوع و کاربرد فراوان، تحقیقات زیادی در مورد نحوه افتخار حباب‌های تیلور تحت شرایط مختلف، انجام شده است. اما عمدۀ مطالعات انجام شده تاکنون، مریبوط به شکل و سرعت پیش‌روی حباب‌های تیلور بوده و فرکانس این حباب‌ها -- به عنوان یکی از پارامترهای سیار مهم جریان پلاگ، بویژه در کanal‌های شیب‌دار -- کمتر مورد توجه بوده است. مطالعه‌ی فرکانس حباب‌های تیلور در یک لوله‌ی افقی با قطر mm ۵۰ نشان داد<sup>[۲]</sup> که فرکانس حباب‌ها با افزایش سرعت ظاهری مایع به‌وضوح افزایش می‌یابد در حالی که این مورد وابستگی ضعیفی به سرعت ظاهری گاز دارد.<sup>[۳]</sup> بررسی فرکانس حباب‌های تیلور در داخل یک ریزکanal (۲۰×۱۰) نشان داد که افزایش دبی فاز گاز سبب کاهش فرکانس حباب‌ها می‌شود.<sup>[۴]</sup> در همین راستا، روابطی براساس نسبت دبی‌های حجمی فازها، کسر تهی<sup>[۵]</sup> و عدد موئینگی<sup>[۶]</sup>، برای پیش‌بینی فرکانس حباب‌ها پیشنهاد شد.<sup>[۷]</sup> بررسی فرکانس حباب‌های هوا و اسلامک در داخل کanal‌های افقی و نزدیک به افق، تا ۱۱ درجه، به ارائه یک رابطه‌ی تجربی با دقت ۶۰ درصد، براساس مدل فیزیکی

جریان هم‌زمان گاز و مایع در داخل کanal، بسته به شکل هندسی سطح مشترک دو فاز در غالب الگوهای مختلف صورت می‌گیرد. در این میان یکی از محتمل‌ترین الگوهای که به‌ازای محدوده وسیعی از دبی جریان مایع مشاهده می‌شود، رژیم جریان پلاگ است. این رژیم به‌دلیل ماهیت متناوب و نایابا، یکی از پیچیده‌ترین الگوهای جریان دوفازی است<sup>[۸]</sup> و مشخصه‌ی بارز آن، حرکت حباب‌های بزرگ و کشیده‌بی از فاز گاز در میان محیط پیوسته‌ی از فاز مایع است. این رژیم که به رژیم حباب‌های تیلور<sup>[۹]</sup> نیز معروف است، در بسیاری از صنایع و کاربردهای مهندسی مانند استخراج و انتقال هیدرولیکین‌ها، نیروگاه‌های زمین‌گرمایی، بویله‌ها و خنک‌کاری اضطراری راکتورهای هسته‌ای و شیمیایی مشاهده می‌شود.<sup>[۱۰]</sup> در فرایندهای همراه با انتقال حرارت، حضور حباب‌های تیلور سبب بورز تغییرات قابل توجه در ضرب انتقال حرارت داخل کanal شده و باعث ایجاد شوک‌های حرارتی به دیواره‌ی لوله می‌شود. این مورد به عنوان یکی از عوامل اصلی سوختن<sup>[۱۱]</sup> لوله‌های بویله در نیروگاه‌ها مطرح است. علاوه بر این، گردابه‌های<sup>[۱۲]</sup> که به‌واسطه‌ی جریان فیلم مایع از اطراف حباب‌های تیلور و در قسمت دنباله‌ی حباب شکل می‌گیرند، نوسانات شدیدی در

\* نویسنده مسئول

تاریخ: دریافت ۴، ۱۳۹۲، اصلاحیه ۱۰، ۶، پذیرش ۲۹، ۱۳۹۳، ۶.

جریان آب با عبور از فیلترهای در نظر گرفته شده، تانک ۲ را تا ارتفاع معینی پر می‌کند. سپس پمپ ۲ آب این تانک را به تانک ۱ که در ارتفاع ۴ متری قرار دارد، پمپ می‌کند. ارتفاع آب در این تانک ثابت است؛ این مورد با سرریز آب اضافی به قسمت دوم تعییه شده در این تانک، قبل از تخلیه به تانک شماره ۲ صورت می‌گیرد. تانک شماره ۱ هد مورد نیاز برای جریان آب داخل کاتال را تأمین می‌کند. علاوه بر این، در صورت نیاز به هد بالاتر پمپ ۱ مستقیماً وارد مدار می‌شود. مقدار دبی آب مورد نیاز نیز توسط شیر ۲۳ تنظیم شده و سپس دبی، فشار و دمای آب خروجی از تانک ۱ قبل از ورود به کاتال اندازه‌گیری می‌شود.

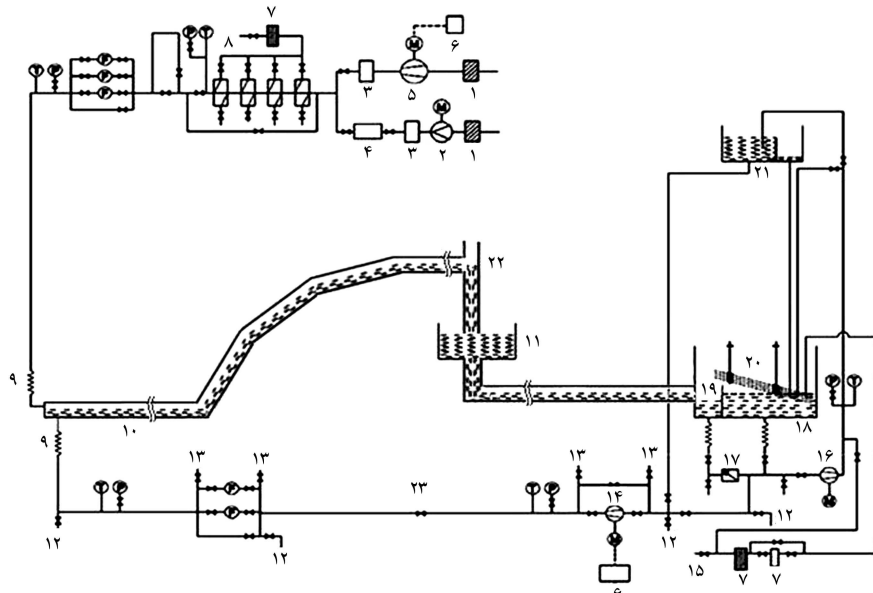
هوای مورد نیاز برای جریان در داخل کاتال، نیز توسط یک کمپرسور با توان ۴۵ کیلووات تأمین می‌شود. با مکش کمپرسور هوا از محیط آزمایشگاه با عبور از فیلتر هوا وارد مخزن هوا می‌شود. فشار هوا فشرده‌ی داخل مخزن با خروج از مخزن توسط یک سیستم تنظیم‌کننده‌ی فشار، تفشار اتسفر کاهش می‌یابد. دمای هوا نیز در صورت لزوم قبل از ورود به کاتال حاوی جریان دوفازی، توسط یک سیستم خنک‌کننده‌ی هوا به دمای محیط کاهش می‌یابد تا شرط تعادل دمایی بین دوفاز در طول کاتال حفظ شود. لازم به ذکر است که برای تنظیم دبی‌های مختلف هوای ورودی، از یک انورتر برای تغییر دور موتور کمپرسور استفاده شده است. مشابه سیستم تأمین آب، فشار، دما و دبی جریان هوا در مسیر تانک هوا تا ورودی کاتال جریان دوفازی، در نقاط مختلفی اندازه‌گیری می‌شود.

کاتال حاوی جریان دوفازی آب - هوا از جنس پلاکسی‌گلس شفاف با مقاطع مستطیلی به ابعاد داخلی  $100 \times 50$  میلی‌متر مربع و به ضخامت ۱۰ میلی‌متر ساخته شده و امکان مشاهده‌ی بصری و ثبت جریان توسط دوربین را مهیا می‌سازد. طول این کاتال در قسمت افقی قبل از مقاطع شیب‌دار  $15/2$  متر و در قسمت افقی بعد از مقاطع شیب‌دار در حدود  $4/5$  متر است. همچنین طول کاتال در هریک از مقاطع شیب‌دار مورد مطالعه برابر  $1/3$  متر در نظر گرفته شده است.

در تحقیق حاضر به مطالعه تجربی فرکانس حباب‌های تیلور در یک زانوبی بزرگ متشکل از شبیه‌های متواالی -- یکی از اشکال متدائل در سیستم‌های لوله‌کشی صنعتی، مانند نیروگاه‌ها، بویله‌های بزرگ و همچنین خطوط انتقال نفت و گاز -- خواهیم پرداخت. بدین‌منظور ابتدا نمودار جریان برای این زانوبی و قسمت افقی بالادست آن توسعه می‌یابد تا محدوده مربوط به رژیم جریان حباب‌های تیلور مشخص شود، سپس با مطالعه‌ی تأثیر جریان بالادست و دبی هرکدام از فازها بر فرکانس حباب‌های تیلور، روابطی تجربی برای پیش‌بینی فرکانس این حباب‌ها براساس اعداد رینولدز ظاهری<sup>۶</sup> جریان‌های مایع و گاز پیشنهاد می‌شود.

## ۲. سیستم آزمایشگاهی

در شکل ۱ طرح‌واره‌ی سیستم آزمایشگاهی مورد استفاده نشان داده شده است. این سیستم شامل خط تأمین هوا، خط تأمین آب، کاتال حاوی جریان دوفازی، مخلوط‌کننده‌ی آب و هوا و تجهیزات اندازه‌گیری است.



- ۱-فیلتر هوا-۲-کمپرسور-۳-تانک هوا-۴-تنظیم کننده فشار-۵-دمنه-۶-سیستم کنترل دمنه-۷-فیلتر آب-۸-سیستم خنک کاری هوا
- ۹-لوله‌های انعطاف پذیر-۱۰-خط کاتال شفاف-۱۱-تانک-۱۲-درین-۱۳-ونت هوایگیری-۱۴-آب شهری-۱۵-پمپ ۲
- ۱۶-آب شهیر-۱۷-شیر یکطرفه-۱۸-تانک-۱۹-صفحه کنترل سطح آب-۲۰-گیرنده اسلامگ-۲۱-صفحه کنترل سطح آب-۲۲-جداکننده آب و هوا
- ۲۳-جداکننده آب و هوا-۲۳-شیر تنظیم دبی آب-۲۴-فشار سنج-۲۵-ترمومترا-۲۶-موتور الکتریکی

شکل ۱. طرح‌واره‌ی سیستم آزمایشگاهی.

۳. روش انجام آزمایش

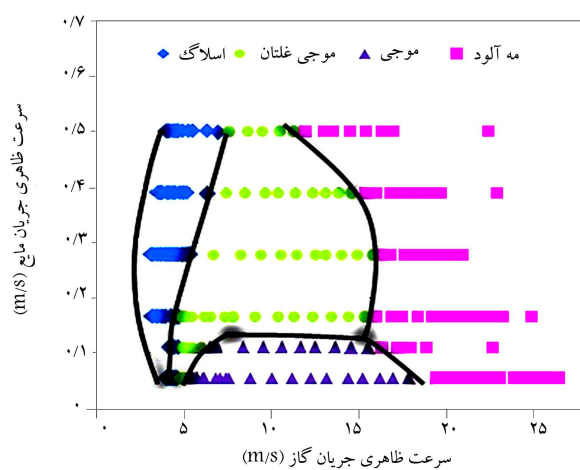
در مطالعهی حاضر به دلیل دسترسی آسان و اینمی بالا، از آب به عنوان فاز مایع از هوا به عنوان فاز گاز استفاده شده است. آزمایش‌ها در فشار اتمسفریک و در دمای متوسط آزمایشگاه ۲۷ درجه سانتی‌گراد، انجام شده است. در تعیین نمودار جریان، ابتدا جریان آب با دبی معین در کanal برقرار شد و سپس، بعد از پرشدن کامل خط کanal و پایداری جریان آب، جریان هوا در کanal در گام‌های کوچکی تا مقدار ییشته‌یی مورد نظر افزایش یافته و زیم‌های مختلف ایجاد شده پس از رسیدن به حالت پایدار، از طریق مشاهده تعیین و توسط دوربین فیلمبرداری ثبت شده است. در مرحله‌ی بعدی برای بررسی فرکانس حباب‌های تیلور مطالعات بر محدوده‌ی این زیم جریان متتمرکز شده و برای تعیین فرکانس، تعداد حباب‌های تیلوری که در مدت ۱۲۰ ثانیه از هر یک ار مقاطع شیب دار عبور کرده، در سه نوبت ثبت شده و نهایتاً متوسط این سه مقدار گزارش شده است. در مجموع حدود ۳۵۰ آزمایش برای تعیین نمودار جریان و ۱۸۰ آزمایش برای تعیین فرکانس حباب‌های تیلور صورت گرفته است.

٤٩. نتائج و بحث

۱۰۴ نمودارهای جریان

برای تهیه‌ی نمودارهای جریان دوفازی سیستم مورد نظر، رژیم‌های مشاهده شده روی مختصات دو بعدی با محورهای مربوط به سرعت‌های ظاهری جریان‌های مابع و گاز طبیه‌بندی شده‌اند. خطوط رسم شده در این نمودارها نشان‌دهنده‌ی مزrزهای گذرا بین رژیم‌های مختلف است. شایان ذکر است که گذرا از این خطوط به معنای تغییر سریع بین رژیم‌ها نیست بلکه تغییر در الگوها به تدریج اتفاق می‌افتد. شکل ۳ نمودار جریان مربوط به قسمت افقی بالا دست مقاطع شب‌دار را نشان می‌هد.

با توجه به نمودار جریان، چهار نوع رژیم جریان در این قسمت از کanal مورد بررسی مشاهده شده است. در رژیم جریان موجی که تنها در سرعت های پایین جریان مایع مشاهده می شود، تنش واردہ از جریان گاز بر سطح مایع سبب یجاد ناپایداری های موجی شکل در سطح مشترک دو فاز می شود که ارتقاء این

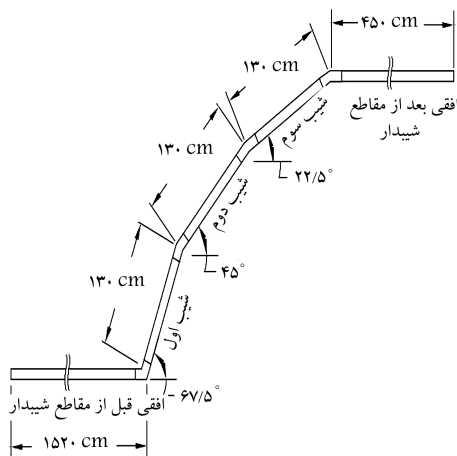


شكل ٣. نمودار حریان قسمت افقی بالادست.

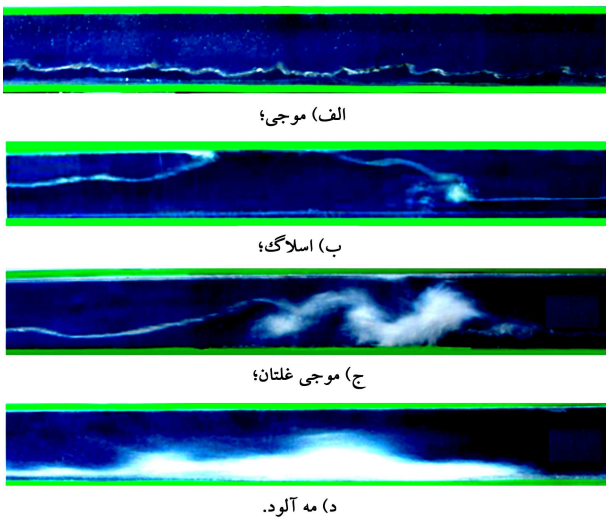
آب با گذر از کاتال حاوی جریان دوفاز وارد جداکننده شده، هوا به اتسفار و آب به داخل تانک ۳ و از آنجا به تانک ۱ تخلیه می‌شود. یادآور می‌شود تانک ۳ با هدف آزادی عمل بیشتر در اجرای خط کاتال در نظر گرفته شده است. شبی کاتال اول با افق برابر  $67,5^{\circ}$ ، شبی کاتال دوم  $45^{\circ}$ ، و شبی کاتال سوم  $22,5^{\circ}$  است. در شکل ۲ نمای شماتیک کاتال مورد بررسی نشان داده شده است. برای ایجاد شبی‌های مورد نظر از زانویی‌هایی با جنس پلاکسی‌گلس استفاده شده است.

هوا و آب از طریق ورودی T شکل وارد خط کanal می‌شود، طوری که آب از پایین و هوا به صورت افقی وارد این قسمت می‌شوند. یک صفحه‌ی فلزی نازک نیز در ورودی قرار داده شده است. حضور این صفحه سبب ورود منظم تر جریان آب و هوا به خط کanal می‌شود و از اغتشاشات و ناپایداری‌هایی که براثر تقاطع مستقیم دو جریان عمود بر هم آب و هوا ممکن است در فصل مشترک دو فاز ایجاد شود، جلوگیری کرده و به توسعه جریان کمک می‌کند. بررسی‌ها (۱۹۸۵) نشان داده که این نوع ورودی در مقایسه با انواع دیگر، پایداری بیشتری ایجاد می‌کند.<sup>[۱۲]</sup>

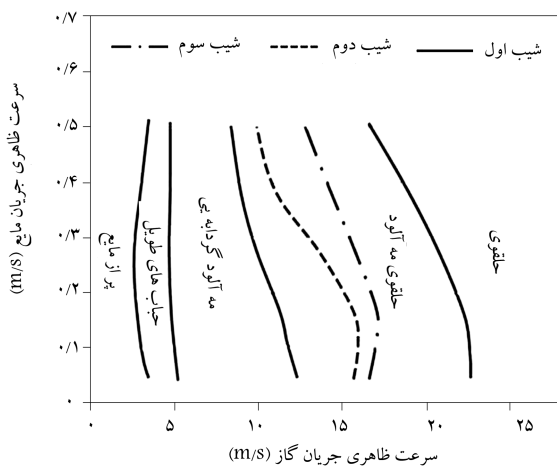
برای اندازه‌گیری دبی حجمی جریان آب از جریان سنج مغناطیسی با دقت  $\pm 0.1 \text{ m}^3/\text{hr}$  و برای جریان هوا از جریان سنج ورتكسی با دقت  $\pm 0.1 \text{ m}^3/\text{hr}$  استفاده شده است. بیشترین مقدار عدم قطعیت‌های اندازه‌گیری طبق استاندارد ANSI/ASME [۱۲] برای اندازه‌گیری دمای جریان آب و هوا، قبل از ورود به کانال حاوی جریان دوفازی از دماسنج هایی با دقت  $0.1^\circ\text{C}$  مطابق با کاتالوگ شرکت سازنده — و عدم قطعیت  $3\%$  استفاده شده است. همچنین فشارسنج های مورد استفاده در آزمایشگاه از نوع پیزوکلریک با دقت  $1 \text{ mbar}$  و با بیشترین مقدار عدم قطعیت  $1/38$  است. برای ثبت تصاویر و فیلم برداری از روزیم‌های مختلف، از دوربین Canon، مدل PowerShot SX220 HS و سرعت شاتر  $1/3200$  s استفاده شده که قابلیت فیلم برداری تا سرعت  $240 \text{ fps}$  و نسبت تصاویر با کیفیت  $12/1 \text{ Mp}$  را دارد. گفتنی است نسبت جریان به وسیله‌ی دوربین در چهار محل متفاوت در طول مسیر صورت گرفته است: ناحیه‌یی به طول  $20 \text{ cm}$  در قسمت افقی قبل از مقاطع شیب دار و در فاصله‌ی  $32 \text{ cm}$  از پای شیب اول و همچنین در فاصله‌ی بین دو زانویی متواലی برای هر یک از مقاطع شیب دار که ناحیه‌یی در حدود  $100 \text{ cm}$  است.



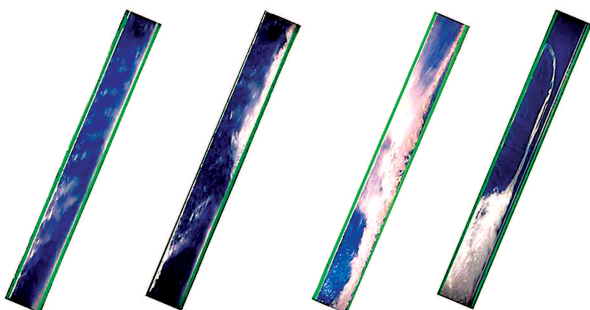
شکل ۲. قسمت‌های مختلف خط کانال مورد آزمایش.



شکل ۴. رژیم‌های جریان قسمت افقی بالادست.



شکل ۵. نمودار جریان مربوط به مقاطع شیب دار.



الف) حباب های تیلور؛ ب) مه آلود گردابه بی؛ ج) حلقوی مه آلود؛ د) حلقوی.

شکل ۶. رژیم‌های جریان مربوط به مقاطع شیب دار.

حلقوی تنها برای شیب اول مشاهده می‌شود. مورد قابل توجه دیگر، ناحیه‌ی مربوط به رژیم جریان حباب‌های تیلور است. چنان‌که مشاهده می‌شود، محدوده‌ی مربوط به این ناحیه بدون تأثیر از تغییرات شیب کanal، برای هر سه مقاطع شیب دار کاملاً هم منطبق است. در واقع می‌توان گفت که در تمام دبی‌های مورد مطالعه، حباب تیلوری که در شیب اول تشکیل می‌شود، از هر دو شیب بعدی عبور می‌کند و رژیم

نایپایداری‌ها به دیواره‌ی بالایی کanal نمی‌رسد. در رژیم جریان اسلاگ<sup>7</sup> که ماهیت<sup>8</sup> متناوب است یکی از نایپایداری‌های سطح مشترک دوفاز رشد کرده و به دیواره‌ی بالایی کanal می‌رسد و مسیر عبور گاز را مسدود می‌کند، افزایش فشار گاز در پشت اسلاگ ایجاد شده سبب حرکت سریع این لخته‌ی مایع در راستای جریان می‌شود. رژیم جریان موجی غلتان<sup>9</sup> نیز همانند جریان اسلاگ ماهیت<sup>10</sup> متناوب است و به واسطه‌ی رشد نایپایداری‌های فصل مشترک ایجاد می‌شود. با این تفاوت که بدليل فشار بالاتر خط کanal، ناشی از بالا بودن سرعت جریان گاز، نایپایداری‌ها توان رشد زیاد و بستن کامل سطح مقطع کanal را نداشته و به صورت توده‌های غلتان در راستای جریان حرکت می‌کنند. در سرعت‌های بسیار بالای جریان گاز، فاز مایع به صورت توده‌های مربوط به رژیم‌های جریان قسمت افقی بالادست مقاطع شیب دار نشان داده شده است.

در مقاطع شیب دار، همواره برگشت قسمتی از فاز مایع به واسطه‌ی تأثیر نیروی گرانش سبب تداخل و برهمکنش بیشتر دوفاز با یکدیگر شده و موجب تغییر نوع الگوهای جریان نسبت به قسمت افقی کanal می‌شود. در شکل ۵ نمودارهای جریان مربوط به شیب‌های اول، دوم و سوم با یکدیگر مقایسه شده‌اند.

چنان‌که مشاهده می‌شود، جریان دوفازی در مقاطع شیب دار در غالب چهار الگوی جریان گاز مشاهده می‌گیرد. در رژیم جریان حباب‌های تیلور که در سرعت‌های پایین جریان گاز مشاهده می‌شود، فاز گاز به صورت متناوب در قالب حباب‌های بزرگ گولوله‌ی شکل با قطری تقریباً برابر با عرض کanal و در میان محیط پیوسته‌ی از مایع صعود می‌کنند. این حباب‌ها در مقاطع شیب دار در تماس با دیواره‌ی بالایی کanal حرکت کرده و توسط فیلمی از مایع از دیواره‌ی پایینی کanal جدا می‌شوند. در رژیم جریان مه آلود گردابی<sup>10</sup> مقداری از مایع به دلیل اندازه حرکت پایین و تأثیر نیروی گرانش، به سمت پایین برگشت و در برخورد با جریان گاز گردابه‌هایی تشکیل می‌دهد که عمدتاً حاوی حباب‌های ریز در بدنه خود هستند و به صورت کف آلود دیده می‌شوند. همواره در حین تشکیل چنین گردابه‌هایی قطراتی از سطح مایع توسط جریان گاز جدا شده و محیط مه آلودی در اطراف گردابه‌ها ایجاد می‌کنند. در دبی‌های بسیار بالایی جریان گاز، فاز مایع به صورت فیلمی روی دیواره‌ی لوله و فاز گاز مرکز کanal جریان می‌یابد و بدین ترتیب رژیم جریان حلقوی<sup>11</sup> تشکیل می‌شود. بدليل اختلاف سرعت بالایی دو فاز قطراتی از مایع ممکن است وارد هسته‌ی گازی شوند. در رژیم جریان حلقوی مه آلود<sup>12</sup> که در دبی‌های پایین‌تر جریان گاز نسبت به جریان حلقوی ایجاد می‌شود، فاز مایع به صورت توده‌ی مه آلود در کتف کanal به همراه فیلمی از مایع در پیرامون کanal داشته و همواره قطراتی از مایع در داخل هسته گازی حضور دارند. در شکل ۶ رژیم‌های جریان دوفازی مربوط به مقاطع شیب دار را نشان می‌دهد.

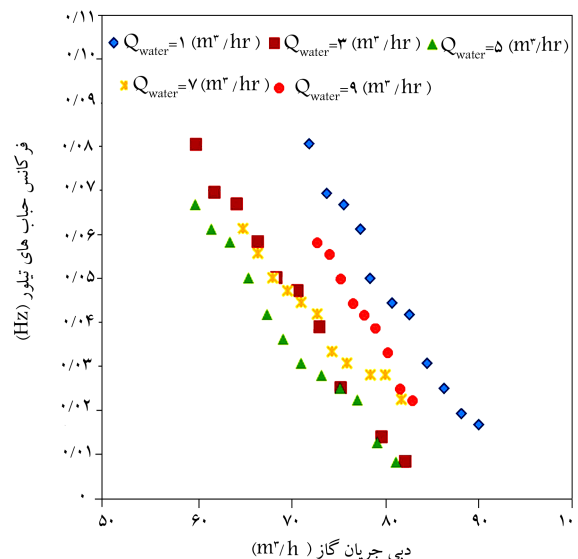
مطابق نمودار جریان شکل ۵، مرزگذار رژیم جریان مه آلود گردابه‌یی به جریان حلقوی مه آلود، در طول مسیر و با کاهش شیب کanal به سمت سرعت‌های بالاتر جریان گاز جابه‌جا می‌شود. در واقع افت بیشتر اندازه حرکت مایع در عبور از هر شیب نسبت به شیب قبلی باعث می‌شود که تمام مایع رسیده به آن مقطع، توان عبور کامل را نداشته باشد و لذا همواره حضور مقدار بیشتری از مایع در کتف کanal، که به واسطه‌ی نیروی گرانش تمايل به برگشت به سوی پایین دارد، سبب گسترش ناحیه‌ی مربوط به رژیم جریان مه آلود گردابه‌یی نسبت به شیب قبلی می‌شود. همچنین بدليل مشابه، در محدوده‌ی جریان مورد مطالعه، انتقال از رژیم جریان حلقوی مه آلود به جریان

## ۵. فرکانس حباب های تیلور

فرکانس حباب های تیلور در هر مقطع خاص، عبارت است از تعداد حباب های که در یک دوره‌ی زمانی معین، از مقطع مورد نظر در امتداد کanal عبور می‌کنند.<sup>[۱۵]</sup> در شکل ۸ نحوه‌ی تغییرات فرکانس حباب های تیلور در سیستم مورد آزمایش و به ازای دبی های مختلف جریان های مایع و گاز نشان داده شده است. گفتنی است طبق مشاهدات صورت گرفته در تحقیق حاضر، تمامی حباب های تیلور شکل گرفته در شیب اول، بدون ازهم پاشیدن از دو شیب بعدی نیز عبور می‌کنند. علاوه بر این، در مقاطع شیب دار و به ازای تمام دبی های مورد مطالعه، پدیده‌ی ادامه<sup>۱۲</sup> حباب های تیلور با یکدیگر رخ نمی‌دهد. لذا می‌توان گفت که تغییرات شیب کanal در طول مسیر، تأثیری بر فرکانس حباب های تیلور نداشته و مقادیر ارائه شده در شکل ۸ مربوط به کل طول زانویی مورد نظر است.

با توجه به شکل ۸ مشاهده می‌شود که فرکانس حباب های تیلور، به ازای تمام دبی های مایع مورد آزمایش، با افزایش دبی جریان گاز، کاهش می‌یابد. در واقع در دبی های بالای جریان گاز، عدمه‌ی ناپایداری های شکل گرفته در قسمت افقی بالا دست و در سطح مشترک دوفاز، صورت موج های غلتان است. از آنجایی که حجم کمتر مایع جابجا شده توسط موج های غلتان نسبت به اسلامگ، توان پر کردن کامل مقطع کanal و به تبع آن تشکیل حباب های تیلور را ندارد، لذا با افزایش دبی جریان گاز فرکانس حباب های تیلور کاهش می‌یابد.

مورد بعدی از نمودار شکل ۸، تغییرات فرکانس حباب های تیلور با دبی جریان مایع است. همانطوری که مشاهده می‌شود روند این تغییرات به صورت یکنواخت نبوده و در جریان هایی با عدد رینولدز ظاهری مایع<sup>۱۳</sup> کمتر از ۲۲۰۰۰ (جریان هایی با دبی مایع کمتر از ۵ مترمکعب بر ساعت)، افزایش دبی جریان مایع سبب کاهش فرکانس حباب های تیلور می‌شود، در حالی که در جریان هایی که عدد رینولدز ظاهری مایع بیشتر از ۲۲۰۰۰ است، با افزایش دبی جریان مایع، فرکانس حباب های نیز افزایش می‌یابد. شایان ذکر است که برای محاسبه‌ی عدد رینولدز ظاهری مایع از روابط ۱ تا ۳ استفاده شده است.

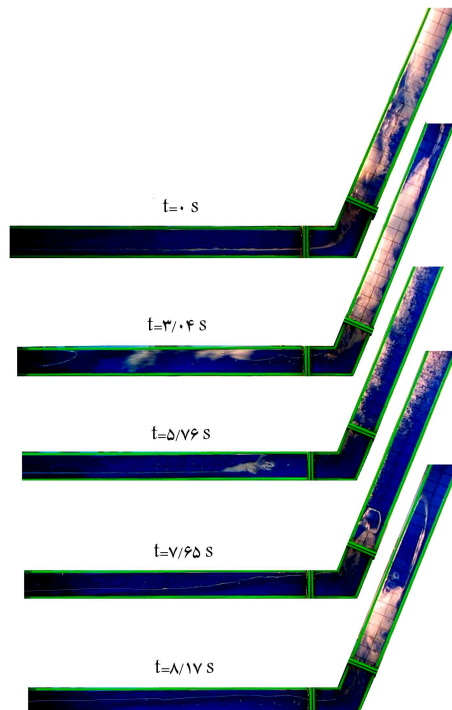


شکل ۸. تغییرات فرکانس حباب های تیلور با دبی فازها.

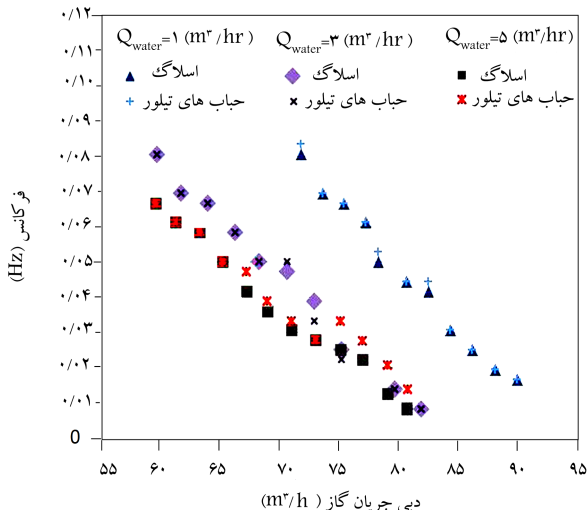
حبابی تیلور بر آن ها نیز حاکم است. جزئیات بیشتر مربوط به الگوها و نمودارهای جریان سیستم مورد مطالعه در پژوهش های انجام شده ارائه شده است.<sup>[۱۶]</sup>

### ۲.۴. سازوکار تشکیل حباب های تیلور

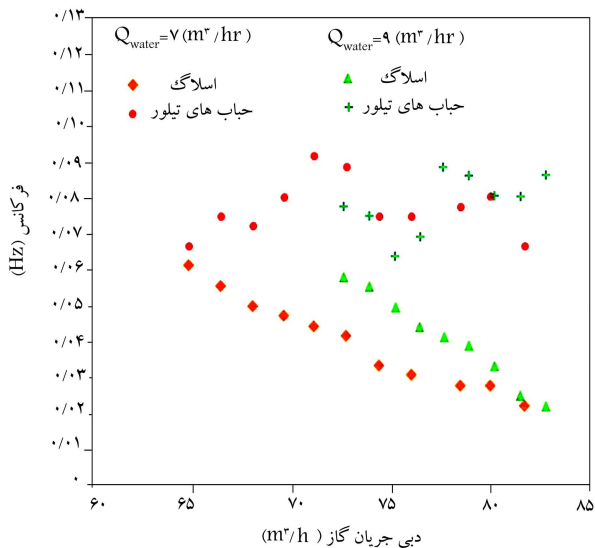
در تحقیق حاضر عامل ایجاد حباب های تیلور در مقاطع شیب دار، برخلاف مطالعات پیشین که عمدتاً از تکنیک تزریق مستقیم فاز گاز در ستونی از مایع استفاده می‌شد، نوع رژیم جریان در قسمت افقی بالا دست است. با توجه به نمودار شکل های ۳ و ۵ مشاهده می‌شود که الگوی جریان حباب های تیلور در قسمت های شیب دار مسیر، همزمان با رژیم جریان اسلامگ در قسمت افقی بالا دست جریان رخ می‌دهد. در واقع با رسیدن یک اسلامگ بزرگ (اخته هایی از مایع با طول تقریبی بیش از ۲ متر) به پای شیب اول، مقطع کanal در قسمت های شیب دار و محل ورودی آن به طور کامل از آب پر شده و جریان گاز مسدود می‌شود. با تجمع گاز در پشت سد مایع و افزایش فشار، فاز گاز با ایجاد حباب بزرگ گوله‌ای شکلی از میان مایع جریان می‌یابد. با هر بار عبور یک حباب تیلور، جریان کف آسود و مغضوشی به واسطه ی گردابهای ایجاد شده در پشت حباب برقرار می‌شود تا این که شیب ها دوباره توسط اسلامگ جدیدی پر از مایع شده و حباب جدیدی تشکیل شود. با افزایش دبی جریان گاز و کوچک شدن اسلامگ ها در قسمت افقی، یا تبدیل آن ها به موج های غلتان، حجم مایع رسیده به پای شیب اول کم خواهد بود. لذا فرستاد لازم برای پرشدن کامل مقطع کanal وجود نداشته و این حجم مایع به صورت توده های کف آسودی به سمت پایین دست زانویی منتقل می‌شود. به همین دلیل ناحیه‌ی مربوط به رژیم جریان حباب های تیلور به دبی های بالای جریان گاز گسترش نمی‌یابد. شکل ۷ روند تشکیل حباب های تیلور را در شیب اول از کanal مورد بررسی نشان می‌دهد. گفتنی است طبق بررسی های انجام شده تاکنون، چنین روند شکلیابی برای حباب های تیلور در پیشینه پژوهش مورد توجه قرار نگرفته است.



شکل ۷. روند شکل گیری حباب های تیلور در شیب اول (زمان صفر مربوط به لحظه‌ی تشکیل اسلامگ نزدیک مقطع ورودی است).



شکل ۱۰. مقایسه‌ی فرکانس اسلامگ در بالادست زانویی با فرکانس حباب‌های تیلور در محل زانویی به‌ازای  $Re_{sl} > 22000$ .



شکل ۱۱. مقایسه‌ی فرکانس اسلامگ در بالادست زانویی با فرکانس حباب‌های تیلور در محل زانویی به‌ازای  $Re_{sl} > 22000$ .

و در انتهای قسمت افقی می‌شود. این اسلامگ‌ها با توجه به محل تشکیل شان، حجم کمی از مایع را به سمت زانویی منتقل می‌کنند و لذا، توان پرکردن کاملاً مقطع کanal و تشکیل حباب‌های تیلور را ندارند. به همین دلیل تنها تعداد محدودی از اسلامگ‌های رسیده به قسمت‌های شیب‌دار، که عمدتاً در نزدیک محل ورودی اسلامگ‌های رسیده به قسمت‌های شیب‌دار، منجر به تشکیل حباب‌های کanal و پس از پرش هیدرولیکی مذکور شکل گرفته‌اند، منجر به تشکیل حباب‌های تیلور می‌شوند. علاوه بر این در دبی‌های بالای جریان گاز به‌واسطه‌ی ایجاد فشار بزرگ تر پشت لخته‌ی مایع، اندازه حرکت اسلامگ‌های حمل شده توسط جریان گاز بالاست؛ به همین دلیل تعداد زیادی از این اسلامگ‌ها با رسیدن به مقطع شیب‌دار، به راحتی از این شیب‌ها به صورت توده‌های کف‌الودی عبور می‌کنند و فرصت لازم برای پرش‌شدن مقطع کanal و تشکیل حباب‌های تیلور فراهم نمی‌شود؛ لذا با افزایش دبی جریان گاز تفاوت زیادی در فرکانس اسلامگ‌ها و حباب‌های تیلور مشاهده می‌شود.

$$u_{sl} = \alpha_l u_l \quad (1)$$

$$D_{hl} = \frac{4 A_l}{S_l} \quad (2)$$

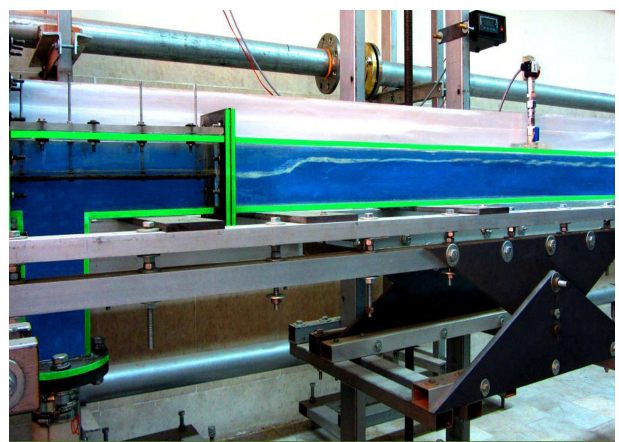
$$Re_{sl} = \frac{\rho_l D_{hl} |u_{sl}|}{\mu_l} \quad (3)$$

چنان‌که پیش‌تر نیز مطرح شد، تشکیل حباب‌های تیلور در مقطع شیب‌دار وابسته به اسلامگ‌هایی است که در قسمت افقی بالادست ایجاد می‌شود. از آنجا که سازوکار تشکیل این اسلامگ‌ها عمدتاً از معیار ناپایداری کلوین - هلمهولتز<sup>۱۵</sup> پیروی می‌کند،<sup>[۱۶]</sup> با افزایش دبی جریان مایع اختلاف سرعت بین دوفازکمتر شده و طبق معیار ناپایداری کلوین - هلمهولتز، امکان تشکیل اسلامگ کمتر می‌شود. لذا با کاهش فرکانس اسلامگ، فرکانس حباب‌های تیلور نیز کاهش می‌یابد.

افزایش سرعت جریان آب ورودی با بیشتر شدن دبی جریان مایع، سبب ایجاد پرش هیدرولیکی<sup>۱۶</sup> در محل ورودی آب به کاتال حاوی جریان دوفاز می‌شود. تصویر پریوتو به این پرش هیدرولیکی در شکل ۹ ارائه شده است.

وقوع این پرش هیدرولیکی در محل ورود مایع به داخل کاتال از یک سو سبب افزایش کسر حجمی مایع در طول کاتال شده و از سوی دیگر باعث ایجاد ناپایداری‌هایی در سطح مشترک دوفاز و در قسمت پایین دست محل ایجاد پرش می‌شود. با افزایش کسر حجمی فاز مایع ناپایداری‌های ایجاد شده در سطح مشترک دوفاز، راحت‌تر خود را به سقف کاتال رسانده و تشکیل اسلامگ می‌دهند؛ لذا فرکانس اسلامگ و به تبع آن فرکانس حباب‌های تیلور افزایش می‌یابد. در شکل‌های ۱۰ و ۱۱ مقایسه‌ی میان فرکانس اسلامگ در قسمت افقی بالادست مقطع شیب‌دار و فرکانس پلاگ در محل زانویی، به ترتیب برای  $Re_{sl} < 22000$  و  $Re_{sl} > 22000$  ارائه شده است.

چنان‌که در شکل ۱۰ مشاهده می‌شود، برای جریان‌هایی با  $Re_{sl} < 22000$  تناظر بسیار نزدیکی بین فرکانس اسلامگ‌های قسمت افقی بالادست زانویی و فرکانس حباب‌های تیلور در محل زانویی است. به عبارت دیگر می‌توان گفت که در صد بسیار بالایی از اسلامگ‌های رسیده به پای شیب اول مقطع کاتال را در طول زانویی پرکرده و به‌واسطه‌ی آن حباب‌های تیلور تشکیل شود. با این حال برای جریان‌هایی با افزایش دبی جریان مایع همواره مقدار مایعی که در اثر نیروی گرانش در امتداد زانویی به سمت پایین بر می‌گردد، افزایش می‌یابد. این مورد سبب ایجاد ناهمواری‌هایی در سطح مشترک دوفاز شده و منشاء ایجاد اسلامگ در پای زانویی مورد مطالعه

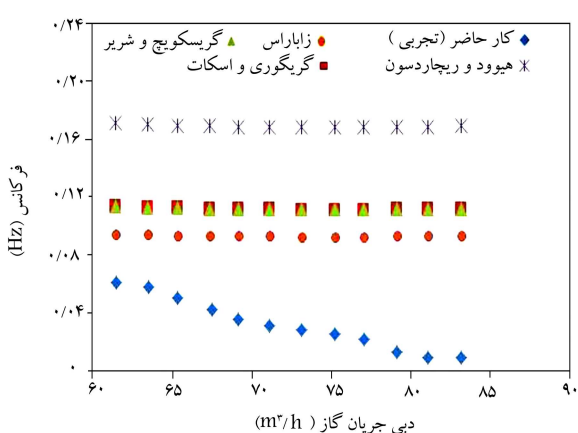


شکل ۹. وقوع پرش هیدرولیکی در محل ورودی کاتال.

## ۶. پیش‌بینی فرکانس حباب‌های تیلور

در مطالعه‌ی حاضر برای پیش‌بینی فرکانس حباب‌های تیلور در محدوده‌ی  $Re_{sl} < 22000$ ، با توجه به ساروکار تشکیل این حباب‌ها و تناظر نزدیک بین فرکانس حباب‌ها در محل زانویی و فرکانس اسلگ در کانال‌های افقی بالادست، روابط موجود در پیشینه‌ی پژوهش برای پیش‌بینی فرکانس اسلگ در کانال‌های افقی مورد استفاده قرار گرفته است. بدین‌منظور نتایج حاصل از روابط تجربی ارائه شده توسط محققین [۱۶، ۱۷، ۱۸] و نیز نتایج تجربی مطالعه‌ی حاضر در شکل‌های ۱۲ تا ۱۴ نماودارها برای دبی‌های جريان مابع ۱، ۳ و ۵ متر مکعب بر ساعت، مقایسه شده است.

با توجه به نماودارهای شکل‌های ۱۲ تا ۱۴ مشاهده می‌شود که مقدار فرکانس محاسبه شده از روابط تجربی ارائه شده در پیشینه‌ی پژوهش حساسیت بسیار پایینی به تغیرات دبی جريان گاز نشان می‌دهد در حالی که این مقدار مشخصاً وابسته به دبی جريان مابع بوده و افزایش دبی جريان مابع سبب افزایش فرکانس اسلگ در کانال افقی شده است. این موارد در پژوهشی دیگر [۲۰] نیز مورد تحقیق و تأیید قرار گرفت. با این وجود مطابق نتایج حاصل از تحقیق حاضر، فرکانس اسلگ در قسمت افقی و به تبع آن فرکانس حباب‌های تیلور در محل زانویی شدیداً وابسته



شکل ۱۴. مقایسه‌ی فرکانس حباب‌های تیلور در مطالعه‌ی حاضر با روابط دیگران برای  $Q_w = 5 \text{ m}^3/\text{hr}$ .

به دبی جريان گاز بوده و شبیه تغیرات فرکانس با دبی گاز زیاد است؛ همچنین در محدوده‌ی مطالعه‌ی  $Re_{sl} < 22000$ ، تغیرات فرکانس حباب‌های تیلور با دبی جريان مابع نسبت عکس دارد، به طوری که افزایش دبی جريان مابع سبب کاهش فرکانس اسلگ و حباب‌های تیلور شده است. این تفاوت‌ها بین نتایج مطالعه‌ی حاضر و نتایج پیشین می‌توانند ناشی از شکل‌های هندسی متفاوت خط کانال در محل پایین دست قسمت افقی، به‌واسطه‌ی حضور زانویی در تحقیق حاضر باشد. وجود این زانویی در امتداد مسیر افقی و رژیم جريان حاکم بر آن سبب تغیرات متابوب پروفیل فشار داخل کانال -- عامل بسیار تأثیرگذار در شکل‌گیری رژیم رژیم ریز [۱۹] -- در قسمت افقی شده در حالی که در تحقیقات انجام شده درمورد کانال‌های سرتاسر افقی، عمدها فازهای جاری در انتهای مسیر افقی به محیطی با فشار ثابت و اتمسفریک تخلیه می‌شود.

با توجه به این که روابط موجود در پیشینه‌ی مطالعه قابلیت تعیین مناسب مقدار فرکانس اسلگ یا حباب‌های تیلور را در سیستم مورد مطالعه‌ی حاضر ندارند، در این تحقیق روابط تجربی برای محاسبه‌ی این مورد ارائه می‌شود. برای این ممنظور طبق داده‌های حاصل از آزمایش و مشابه مطالعات محققین [۲۰] با استفاده از کمیت فیزیکی بی‌بعد رینولدز ظاهری فازها و بهره‌گیری از روش آماری حداقل مربعات روابط ۴ و ۵ به ترتیب برای محدوده‌های جريان مورد مطالعه‌ی  $Re_{sl} < 22000$  و برای پیش‌بینی مقدار فرکانس حباب‌های تیلور در محل زانویی  $Re_{sl} > 22000$ ، در این روابط، برای بی‌بعدسازی مقدار فرکانس، از عدد اشتروهال ( $St$ )، برمبنای سرعت رانشی حباب‌های تیلور ( $u_d$ ) در میانه‌ی زانویی (شیب دوم)، و قطر هیدرولیکی کانال ( $D_h$ ) استفاده شده است:

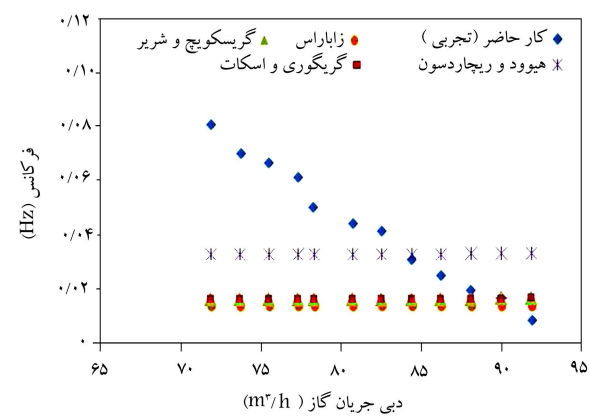
$$Re_{sl} < 22000 : St = \frac{f \cdot D_h}{u_d} = 2,03 \times 10^{25} Re_{sg}^{-0.588} Re_{sl}^{-1.02} \quad (4)$$

$$Re_{sl} > 22000 : St = \frac{f \cdot D_h}{u_d} = 6,9 \times 10^4 Re_{sg}^{-0.79} Re_{sl}^{1.19} \quad (5)$$

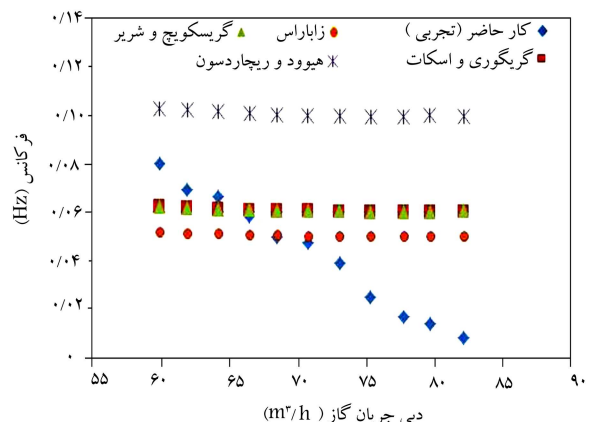
و در آن سرعت رانشی حباب‌های تیلور ( $u_d$ ) از بون‌یابی مقدار داده‌های سرعت حباب تیلور حاصل از آزمایش، در شیب دوم (شکل ۱۵) و با استفاده از مدل پرکاربرد فلاکس رانشی <sup>۱۸</sup> (رابطه‌ی ۶) به دست آمده است:

$$u_{Tb} = cu_m + u_d \quad (6)$$

$$u_m = u_{sl} + u_{sg} \quad (7)$$



شکل ۱۲. مقایسه‌ی فرکانس حباب‌های تیلور در مطالعه‌ی حاضر با روابط دیگران برای  $Q_w = 1 \text{ m}^3/\text{hr}$ .



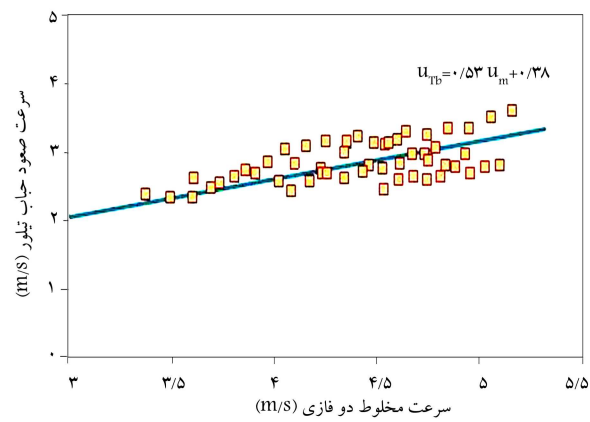
شکل ۱۳. مقایسه‌ی فرکانس حباب‌های تیلور در مطالعه‌ی حاضر با روابط دیگران برای  $Q_w = 3 \text{ m}^3/\text{hr}$ .

فرکانس حباب‌های تیلور به دبی جریان گاز مستقیماً لحاظ می‌شود. در حالی که تأثیر دبی جریان گاز در روابطی که پیش‌تر مورد مقایسه قرار گرفت در قالب سرعت متوسط دوفاری (مجموع سرعت‌های ظاهری دوفاری) لحاظ شده بودند و مطابق شکل‌های ۱۲ تا ۱۴، این مورد تغییرات اندک مقدار فرکانس حباب‌های تیلور را با دبی جریان گاز تیجه می‌دهد.

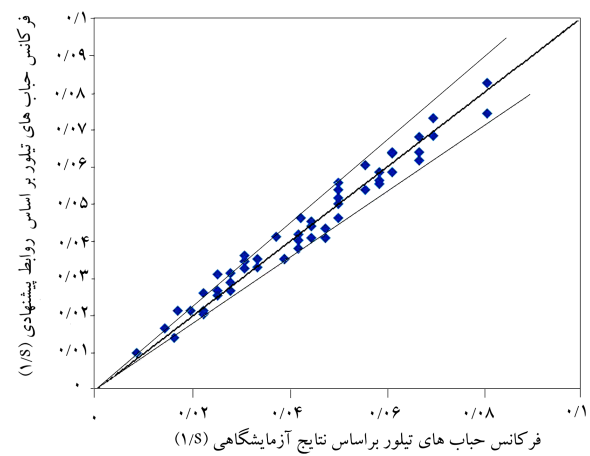
## ۷. نتیجه‌گیری

در نوشتار حاضر، فرکانس حباب‌های تیلور در یک زانویی بزرگ بطور تجربی مطالعه شد. برای این منظور ابتدا نمودار جریان براساس دبی حجمی فازها برای زانویی و مقطع افقی بالادست آن ترسیم شد تا ناحیه‌ی مربوط به این رژیم جریان و سازوکار تشکیل حباب‌ها توسط نوع رژیم جریان بالادست زانویی تعیین شود. سپس تأثیر دبی جریان‌های مایع و گاز و همچنین فرکانس اسلامگ در قسمت افقی بالادست بر روی فرکانس حباب‌های تیلور در محل زانویی مورد مطالعه قرار گرفت و در نهایت با بررسی روابط تجربی موجود در پیشنهادی پژوهش، روابط تجربی برای محاسبه‌ی فرکانس حباب‌های تیلور براساس اعداد رینولدز ظاهری فازها پیشنهاد شد. عمدتاً نتایج به دست آمده از آزمایش به شرح زیر است:

- ناحیه‌ی مربوط به رژیم جریان حبابی طویل بدون تأثیر از تغییرات شبیه کانال، برای هر سه مقطع شبیه‌دار کاملاً بر هم منطبق است.
- ناحیه‌ی مربوط به رژیم جریان حباب‌های تیلور در سرعت‌های ظاهری گازکمتر از ۵ متر بر ثانیه و هم‌زمان با رژیم اسلامگ در قسمت افقی بالادست زانویی رخ می‌دهد؛ در واقع سازوکار تشکیل حباب‌های تیلور برای ای اسلامگ‌های رسیده به پای زانویی است.
- با توجه به عدم مشاهده‌ی بدیده‌ی ادغام حباب‌ها با یکدیگر و همچنین از هم پاشیدن حباب‌ها در طول زانویی، تغییرات شبیه کانال تأثیری بر فرکانس حباب‌های تیلور ندارد و حباب تشکیل شده در شبیه اول از هر سه شبیه بعدی عبور می‌کند.
- در تمام محدوده‌ی دبی‌های مایع مورد آزمایش (۱ تا ۹ متر مکعب بر ساعت)، افزایش دبی جریان گاز سبب کاهش فرکانس حباب‌های تیلور می‌شود.
- روند تغییرات فرکانس حباب‌های تیلور با دبی جریان مایع یکسان نیست و در جریان‌هایی با  $Re_{sl} < 22000$ ، افزایش دبی (در محدوده‌ی ۱ تا ۵ متر مکعب بر ساعت) سبب کاهش فرکانس حباب‌های تیلور می‌شود در حالی که جریان‌هایی با  $Re_{sl} > 22000$ ، فرکانس حباب‌ها با افزایش دبی جریان مایع (در محدوده جریان ۵ تا ۹ متر مکعب بر ساعت)، افزایش می‌یابد.
- برای جریان‌هایی با  $Re_{sl} > 22000$ ، تأثیر نزدیکی بین فرکانس حباب‌ها در محل زانویی و فرکانس اسلامگ در مقطع افقی بالادست وجود دارد در حالی که در جریان‌هایی رینولدز ظاهری مایع بزرگ‌تر از مقدار بحرانی ۲۲۰۰۰، تفاوت قابل توجهی بین فرکانس حباب‌های تیلور و اسلامگ مشاهده می‌شود.



شکل ۱۵. سرعت صعود حباب‌های تیلور با مدل فلاکس رانشی در شبیه دوم.



شکل ۱۶. مقایسه‌ی فرکانس حباب‌های تیلور با نتایج تجربی و روابط پیشنهادی با شبیه خطای ۰، ۱ و ۳.

که در آن  $U_m$  سرعت مخلوط دوفازی و  $c$  ضریب ثابت است که مقدار آن با توجه به نتایج تجربی مطالعه‌ی حاضر ۰،۳۸ است. همچنین در روابط پیشنهادی برای محاسبه‌ی عدد رینولدز ظاهری فاز مایع از رابطه‌ی ۳ و برای فاز گاز از رابطه‌ی ۱۰ استفاده شده است.

$$u_{sg} = \alpha_g u_g \quad (8)$$

$$D_{hg} = \frac{4A_g}{S_g + S_i} \quad (9)$$

$$Re_{sg} = \frac{\rho_g D_{hg} |u_{sg}|}{\mu_g} \quad (10)$$

گفتنی است برای اندازه‌گیری سرعت صعود حباب در هر نقطه از آزمایش، مدت زمان جایه‌جایی نوک حباب تیلور بین ابتداء و انتهای شبیه دوم در ۱۰ نوبت متواتی و با استفاده از فیلم‌های گرفته شده، ثبت و مقدار میانگین گزارش شده است.

برای ارزیابی روابط ارائه شده، مقدار فرکانس پیش‌بینی شده توسط این رابطه به همراه داده‌های تجربی حاصل از آزمایش در شکل ۱۶ ارائه شده است. چنان‌که مشاهده می‌شود روابط پیشنهادی مقدار فرکانس حباب‌های تیلور را با دقت نسبتاً مناسبی در هر دو محدوده‌ی مورد مطالعه پیش‌بینی می‌کند. در این روابط با در نظر گرفتن کمیت مستقل رینولدز ظاهری فاز گاز، حساسیت بالای مقدار

سرعت صعود حباب ( $u_{Tb}$ ) (m/s).

علائم یونانی

- $\mu$ : ویسکوزیته دینامیکی ( $\text{kg}/\text{m.s}$ )
- $\rho$ : چگالی ( $\text{kg}/\text{m}^3$ )
- $\alpha_g$ : کسر حجمی گاز (کسر تنهی)
- $\alpha_l$ : کسر حجمی مایع.

زیرنویس

*i*: سطح مشترک.  
*l*: مابع؛  
*g*: گاز؛

- $A$ : سطح مقطع ( $m^2$ )
- $D_h$ : قطر هیدرولیکی ( $m$ )
- $f$ : فرکانس ( $s^{-1}$ )
- $Q$ : دبی حجمی جریان ( $m^3/s$ )
- $Re_s$ : عدد رینولدز ظاهري
- $S$ : طول تفاس ( $m$ )
- $u$ : سرعت واقعي ( $m/s$ )
- $u_s$ : سرعت ظاهري ( $m/s$ )
- $u_d$ : سرعت رانشی حباب تیلور ( $/s$ )
- $u_m$ : سرعت مخلوط دوفازی ( $m/s$ )

دانه‌شتها

1. Taylor bubbles
  2. burn out
  3. wakes
  4. void Fraction
  5. capillary number
  6. superficial Reynolds number
  7. Slug
  8. rollwave
  9. misty
  10. vortex misty
  11. annular
  12. misty annular
  13. merging
  14. liquid superficial Reynolds number
  15. Kelvin-Helmholtz
  16. hydraulic jump
  17. Strouhal number
  18. drift Flux method

## مراجع (References)

- van Hout, R., Shemer, L. and Barnea, D. "Evolution of hydrodynamic and statistical parameters of gas-liquid slug along inclined pipes", *Chemical Engineering Science*, **58**, pp. 115-133 (2008).
  - Taha, T. and Cui, Z.F. "CFD modeling of slug flow in vertical tubes", *Chemical Engineering Science*, **61**, pp. 676-687 (2006).
  - Mayor, T.S., Pinto, A.M.F.R. and Campos, J.B.L.M. "Vertical slug flow in laminar regime in the liquid and turbulent regime in the bubble wake Comparison with fully turbulent and fully laminar regimes", *Chemical Engineering Science*, **63**, pp. 3614-3631 (2008).
  - liquid holdup by gamma-ray absorption", *Chem. Eng. Sci.*, **34**, pp. 17-30 (1979)
  - Laborie, S., Cabassud, C., Durand-Bourlier, L. and Laine, J.M. "Characterisation of gas-liquid two-phase flow inside capillaries", Laboratoire d'Ingénierie des Procédés de l'Environnement, Département G.P.I - 31077 Toulouse Cedex, Institut National des Sciences Appliquées, France Chemical Engineering Science, **54**(23), pp. 5723-5735 (1999).
  - Barnea, D., Shoham, O. and Taitel, Y. "Gas-liquid flow upward in inclined Tubes; Flow pattern transition for upward flow", *Chemical Engineering Science*, **40**, pp. 131-136 (1985)

13. ANSI/ASME, *Measurement Uncertainty*, PTC, 19, Part I (1986)
14. Ansari, M.R., Habibpour, B., Salimi, E. and Adibi, P. "Experimental study of gas-liquid two-phase flow in the consecutive inclinations of a large bend", *Modares Mechanical Engineering*, in Press Article, (2013) (In Persian).
15. Al Safran, E. "Investigation and prediction of slug frequency in gas/liquid horizontal pipe flow", *Journal of Petroleum Science and Engineering*, **69**, pp. 143-155 (2009)
16. Ansari, M.R. "Dynamical behavior of slug initiation generated by short waves in two-phase air-water stratified flow", *ASME HTD*, **361**, pp. 289-295 (1998)
17. Gregory, G.A. and scott, D.S. "Correlation of liquid slug velocity and frequency in horizontal cocurrent gas-liquid slug flow", *AICHE Journal*, **15**, pp. 933-935 (1969)
18. Grescovich, E.J. and Shrier, A.L. "Slug frequency in horizontal gas-liquid slug flow", *Ind. Eng. Chem. Process*, **11**, pp. 317-318 (1972)
19. Ujang, P.M., Lawrence, C.J., Hale, C.P. and Hewitt, G.F. "Slug initiation and evolution in two-phase horizontal flow", *International Journal of Multiphase Flow*, **32**, pp. 527-552 (2006)
20. Adibi, P., Ansari, M.R., Habibpour, B. and Salimi, E. "Slug frequency evolution in long horizontal channel by experimental method", *Modares Mechanical Engineering*, **2**, pp. 141-149 (2014).